

## 日本近海における津波マグニチュードの特性

羽鳥 徳太郎\*

### 1. はじめに

地震の規模と津波マグニチュードとの関係が、Iida (1956) によって初めて提示され、津波の観測データが震源メカニズムの情報に導入される契機となった。以後、津波の規模と断層運動との関連が検討されている。例えば、地震の規模と比べ、日本海の津波のマグニチュードが太平洋側の津波より上回ることが、断層の鉛直変位量から議論され（羽鳥、1979a；Abe, 1985），また伝播距離の係数が相違することが示された（渡辺、1995）。津波マグニチュードが異常に大きい津波地震が、発生件数の10~20%にのぼるという指摘がある（渡辺、1994）。

筆者（羽鳥、1979b, 1986）は、津波の検潮記録から波高-震央距離図で津波マグニチュード（今村・飯田スケール、 $m$ ）を定量的に区分し、津波エネルギーと関連づけた。本稿では過去約100年間（1894~1995）に、日本近海で発生した大小133個にのぼる津波の観測データをもとに、津波マグニチュードと地震との関係、地域性を再検討し、最大波高との関連を考察する。

一方、津波の波高値から地震のモーメントマグニチュードに相当するニュースケール  $M$  が提案され（Abe, 1983），その改良スケール  $M_0$  (Watanabe, 1993; 渡辺, 1995) が示された。そこで從来からの津波マグニチュード、 $m$ スケールとの関係を比較検討してみた。

### 2. 津波マグニチュードの偏差分布

表-1は、過去100年間（1894~1995）に日本近海で発生した津波のリストを示す。ここで  $M$  は地震の気象庁マグニチュード、 $m$  は津波マグニチュードを表す。波高は観測された最大値を示し、 $m$  単位の波高値は平均海面上の週上高、cm単位のものは検潮記録上の最大全振幅値を示す。

津波マグニチュード  $m$  は、検潮器で観測された波高が震央からの距離  $\Delta^{-1}$  で減衰するとみなし、今村・飯田スケールで区分され、次の経験式（羽鳥、1986）で表された。

$$m = 2.7 \log H + 2.7 \log \Delta - 4.3$$

（単位  $H$  : m,  $\Delta$  : km）

ここで  $H$  は検潮記録上の最大全振幅値、 $\Delta$  は震央から観測点までの海洋上の最短距離をとる。規模スケールは波高を2.24倍（エネルギーにして5倍）の刻みで区分され、0.5の間隔で求めた  $m$  値を表-1に示した。

以上の観測データをもとに、津波の発生域を南千島～東北地方、関東～沖縄、日本海の3区域に分け、 $M$  と  $m$  との関係を示したのが図-1である。ここで太い破線は経験式（羽鳥、1979b）

$$m = 3.03M - 21.73$$

を表し、細い点線は  $M \pm 0.2$  の範囲を示した。主な観測値に示す数字は、津波の発生年である。地域別に観測データを分けてみると、過去100年間に南千島～東北地方沖で発生した津波数が、著しく多いことが改めて理解できよう。津波地震による1896年三陸津波と1984年鳥島近海津波のデータが、著しく突出している。また地震の規模と比べ、日本海側では津波マグニチュードの偏差が上回るものが多い。

\*元東京大学地震研究所

表-1 日本近海で発生した津波の規模(1894-1995)

年月日	波源域	マグニチュード			波高	
		M	m			
1894. 3.22	根室沖	7.9	2.5	N	色丹島	3m
1896. 1. 9	鹿島灘	7.0	0	N	鮎川	28cm
1896. 6.15	三陸沖	6.8	3.5	H	綾里白浜	38m
1897. 2.20	宮城県沖	7.4	0	L	大船渡	1m
1897. 8. 5	"	7.7	2	N	大船渡	3m
1898. 4. 3	山口県見島	6.2	-1	H	見島	40cm
1898. 4.23	宮城県沖	7.2	-1	L	鮎川	20cm
1899.11.25	日向灘	7.1	-1	L	細島	32cm
1901. 6.15	岩手県沖	7.0	0	N	田畠に浸水	
1901. 6.24	奄美大島沖	7.5	1	N	細島	24cm
1901. 8. 9	青森県東方沖	7.2	0	N	宮古	60cm
1901. 8.10	"	7.4	0	L	鮎川	50cm
1911. 6.15	奄美大島沖	8.0	1.5	L	加計呂麻島	3m
1915.11. 1	宮城県沖	7.5	0	L	志津川	90cm
1918. 9. 8	ウルップ島沖	8.2	3	N	ウルップ島	12m
1918.11. 8	"(余震)	7.9	2	N	父島	50cm
1923. 6. 2	茨城県沖	7.3	-1	L	鮎川	32cm
1923. 9. 1	関東	7.9	2	N	熱海	12m
1923. 9. 2	"(余震)	7.3	-1	L	房総洲崎	30cm
1925. 5.23	北但馬	6.8	-1	N	久美浜	1m
1927. 3. 7	丹後	7.3	0	N	丹後半島	1.5m
1927. 8. 6	宮城県沖	6.7	-1	N	塩釜	15cm
1927. 8.19	房総沖	6.9	-1	N	銚子	30cm
1928. 5.27	岩手県沖	7.0	-1	N	石巻	25cm
1931. 3. 9	青森県東方沖	7.6	-1	L	八戸	39cm
1931.11. 2	日向灘	7.1	-1	L	八室戸	85cm
1933. 3. 3	三陸沖	8.1	3	N	綾里白浜	29m
1933. 6.19	宮城県沖	7.1	-1	L	八戸	18cm
1935. 7.19	茨城県沖	6.9	-1	N	小名浜	18cm
1935.10.13	三陸はるか沖	6.9	-1	N	八戸	33cm
1935.10.18	"	7.1	-1	L	八戸	20cm
1936.11. 3	宮城県沖	7.5	0	L	女川	90cm
1938. 5.23	茨城県沖	7.0	0.5	H	小名浜	83cm
1938. 6.10	宮古島近海	7.7	1	N	平良	1.5m

年月日	波源域	マグニチュード			波高	
		M	m			
1938.11.5	福島県沖	7.5	1	N	小名浜	107cm
1938.11.5	"	7.3	0	N	塩釜	112cm
1938.11.6	"	7.4	1	N	鮎川	126cm
1938.11.7	"	6.9	0	H	鮎川	125cm
1938.11.14	"	7.0	0	N	小名浜	71cm
1938.11.22	"	6.9	-1	N	小名浜	29cm
1938.11.30	"	6.9	-1	N	女川	18cm
1939.3.20	日向灘	6.5	-1	H	室戸	80cm
1939.5.1	男鹿半島	6.8	-1	N	土崎	27cm
1940.8.2	積丹半島沖	7.5	2	H	利尻島	3m
1941.11.19	日向灘	7.2	1	H	油津	1m
1943.6.13	青森県東方沖	7.1	-1	L	八戸	60cm
1944.12.7	東南海	8.0	2.5	N	新鹿	10m
1945.1.13	三河湾	6.8	-1	N	蒲郡	65cm
1945.2.10	青森県東方沖	7.1	-1	L	八幡	35cm
1946.12.21	南海道	8.1	3	N	串本	6.6m
1947.11.4	留萌沖	6.7	1	H	利尻島	2m
1948.4.18	南紀沖	7.0	0	N	印南	60cm
1952.3.4	十勝沖	8.2	2.5	N	仙鳳趾	6.5m
1952.3.10	"(余震)	6.8	-1	N	戸八	30cm
1953.11.26	房総沖	7.5	2	H	銚子	外川3m
1956.3.6	網走沖	6.3	-1	H	網走	40cm
1958.11.7	エトロフ島沖	8.1	2	N	エトロフ島	5m
1959.1.22	福島県沖	6.8	-1	N	鮎川	45cm
1959.10.26	"	6.8	-1.5	N	鮎川	11cm
1960.3.21	岩手県沖	7.2	0.5	N	女川	1m
1960.3.23	"	6.7	0	H	鮎川	27cm
1960.7.30	"	6.7	-1.5	N	久慈	18cm
1961.1.16	茨城県沖	6.8	0	H	小名浜	45cm
1961.1.16	"	6.4	0	H	小名浜	40cm
1961.1.16	"	6.5	-1	H	小名浜	36cm
1961.2.13	北海道東方沖	7.0	-0.5	N	色丹島	1m
1961.2.27	日向灘	7.0	0	N	土佐清水	96cm
1961.7.18	屋久島沖	6.6	-0.5	H	土佐清水	20cm

年月日	波源域	マグニチュード			波高	
		M	m			
1961. 8.12	釧路沖	7.2	-1	L	花咲	14cm
1961.11.15	釧路沖	6.9	-1	N	花咲	13cm
1962. 4.12	宮城県沖	6.8	-0.5	N	鮎川	50cm
1962. 4.23	広尾沖	7.0	-1.5	L	広尾	12cm
1963. 2.13	台湾沖	7.2	-1	L	花蓮	40cm
1963.10.12	エトロフ島沖	6.3	-2	N	Kurilsk	5cm
1963.10.13	" (本震)	8.1	3	N	ウルップ島	5m
1963.10.20	" (余震)	7.2	2	H	ウルップ島	15m
1964. 5. 7	男鹿半島沖	6.9	-0.5	N	深浦	90cm
1964. 6.16	新潟県沖	7.5	2	H	府屋	6m
1964. 7.24	シンシル島沖	7.0	-1	N	マツワ島	15cm
1964.12.11	秋田県沖	6.3	-2	N	深浦	10cm
1965. 6.11	色丹島沖	7.2	-0.5	N	花咲	8cm
1966. 3.13	与那国島沖	7.8	0	L	石垣島	20cm
1968. 1.29	色丹島沖	6.9	0	H	花咲	26cm
1968. 4. 1	日向灘	7.5	1.5	N	高知浦尻	3.1m
1968. 5.16	十勝沖	7.9	2.5	N	大槌湾	5.7m
1968. 5.16	" (余震)	7.5	1	N	宮古	104cm
1968. 6.12	" (余震)	7.2	1	H	鳥ノ越	156cm
1969. 4.21	日向灘	6.5	-1	H	室戸	20cm
1969. 8.12	色丹島沖	7.8	2.5	N	色丹島	5m
1970. 7.26	日向灘	6.7	-0.5	H	土佐清水	44cm
1971. 8. 2	襟裳岬沖	7.0	-0.5	N	広尾	30cm
1971. 9. 6	サハリン南西沖	6.9	1	H	サハリン西岸	2m
1972. 2.29	八丈島東方沖	7.1	0.5	H	布良	30cm
1972.12. 4	"	7.2	1	H	串本	48cm
1973. 6.17	根室半島沖	7.4	2	H	浜中	4.5m
1973. 6.24	" (余震)	7.1	0.5	N	花咲	108cm
1974. 5. 9	南伊豆	6.9	-2	L	御前崎	20cm
1974. 9.27	根室沖	6.6	-1	N	花咲	35cm
1975. 6.10	色丹島沖	7.0	1.5	H	色丹島	5.5m
1976. 1.21	エトロフ島沖	6.5	-1	H	エトロフ島	18cm
1978. 1.14	大島近海	7.0	-1	N	大島岡田	68cm
1978. 3.23	エトロフ島沖	7.0	0	N	花咲	26cm

年月日	波源域	マグニチュード		波	高
		M	m		
1978. 3.25	エトロフ島沖	7.3	1	N	花咲40cm
1978. 6.12	宮城県沖	7.4	0.5	N	気仙沼120cm
1979. 2.20	三陸はるか沖	6.5	-0.5	H	鳥ノ越24cm
1980. 2.23	根室沖	6.8	-1	N	花咲22cm
1980. 6.29	伊豆東方沖	6.7	-1.5	N	大島岡田56cm
1981. 1.19	宮城県沖	7.0	0	N	釜石37cm
1982. 3.21	浦河近海	7.1	0	N	浦河156cm
1982. 7.23	茨城県沖	7.0	0	N	鮎川36cm
1982. 12.28	三宅島近海	6.4	-0.5	H	八丈島40cm
1983. 5.26	日本海中部	7.7	3	H	峰浜村15m
1983. 6.21	"(余震)	7.1	0.5	N	吉岡98cm
1984. 3.24	エトロフ島沖	7.1	0	N	花咲19cm
1984. 6.13	鳥島近海	5.9	0	H	八丈島1.5m
1984. 8. 7	日向灘	7.1	-1	N	室戸23cm
1984. 9.19	房総沖	6.6	0	H	八丈島24cm
1986.11.15	台湾沖	7.8	1	L	蓮200cm
1989.10.29	三陸はるか沖	6.5	-1	H	慈25cm
1989.11. 2	"	7.1	1	H	慈105cm
1990. 2.20	大島近海	6.5	-2	N	布良32cm
1990. 9.24	東海はるか沖	6.6	-1	N	神津島30cm
1991.12.22	ウルップ島沖	6.8	1	H	花咲22cm
1992. 7.18	三陸はるか沖	6.9	0	N	田老105cm
1993. 2. 7	能登沖	6.6	-0.5	H	輪島50cm
1993. 7.12	北海道南西沖	7.8	3	H	奥尻島32m
1994. 4. 8	三陸はるか沖	6.6	-1	N	大船渡20cm
1994.10. 4	北海道東方沖	8.1	3	N	色丹島10m
1994.12.28	三陸はるか沖	7.5	1.5	N	久慈170cm
1995. 1.17	兵庫県南部	7.2	-1.5	L	淡路深日65cm
1995.10.18	喜界島近海	6.7	1	H	喜界浦原3m
1995.10.19	"	6.6	0	H	喜界浦原1.6m
1995.12. 4	エトロフ島沖	7.2	1	H	花咲34cm

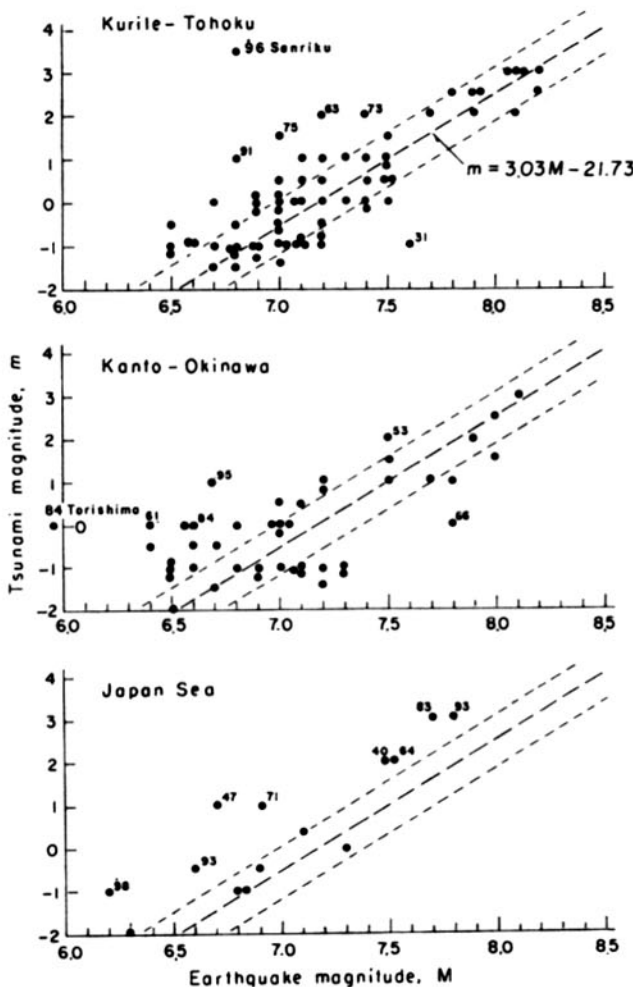


図-1 地域別、地震マグニチュード  $M$  と津波マグニチュード  $m$  との関係

図-1において、津波マグニチュードが点線で示す  $M \pm 0.2$  範囲内におけるものを、地震の規模と比べて標準的とみなして N とする。また津波マグニチュードが上回るもの H、下回るもの L と区分して表-1に示した。その地理的な偏差値分布は図-2 のようになる。太平洋側の津波では、 $M 8$  クラスの地震による津波のマグニチュードは、おおむね標準的な規模になっている。しかし、海溝付近で発生する津波のマグニチュードは、標準以上のものがある。北海道東方沖～南千島の地震は、発生数の 27% の津波が標準のマグニチュードよりも大きく、三陸沖では 18% になる。津波地震はこの中に含まれ、海溝沿いに

発生している。

一方、日本海側の地震では、津波マグニチュードの偏差値が大きいものが 62%もある。これらの地震は、沿岸域で震度 5～6 が記録されており、津波地震ではない。しかし、津波が高角断層で起こされるものが多く、底角断層のものと比べて海底面の鉛直変位が大きくなり、津波波高が 2 倍程度上回る。

奄美大島沖津波は地震の規模と比べて多様である。1995年10月喜界島近海地震では、予想外の津波が海岸に週上した。それに対して、台湾沖地震による津波は、前報（羽鳥、1994）で示したように、平均以下の規模のものが多い。

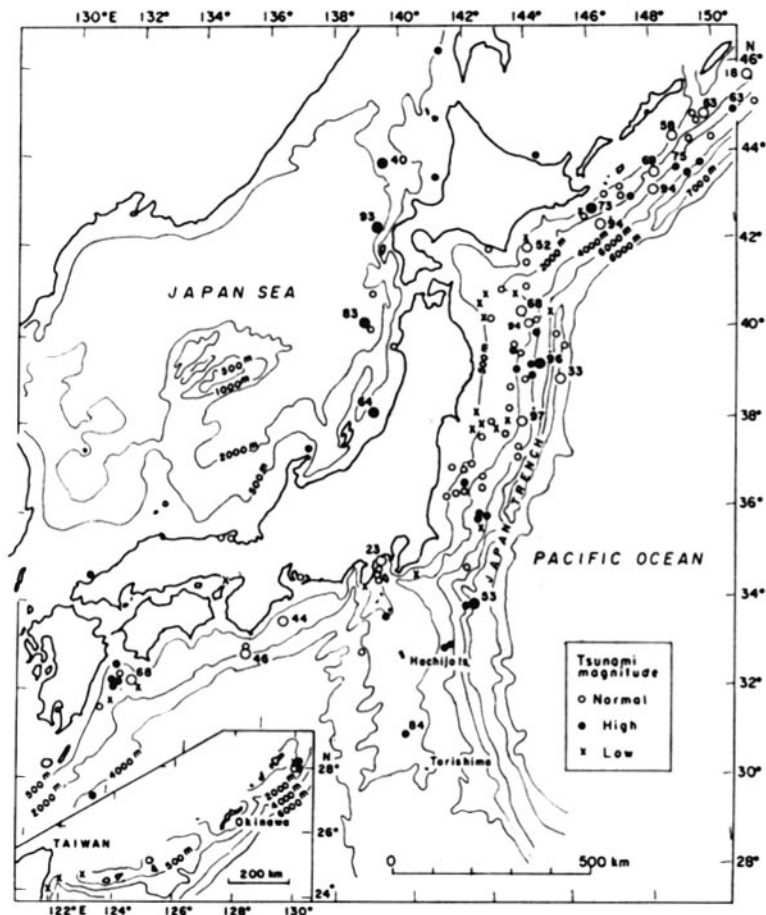


図-2 地震の規模で区分した津波マグニチュードの偏差値分布（1894-1995）

### 3. 津波・地震のマグニチュードと最大波高

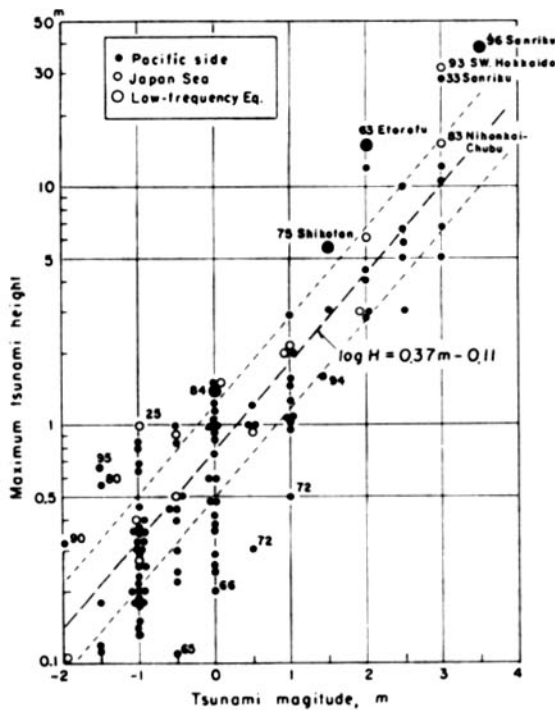
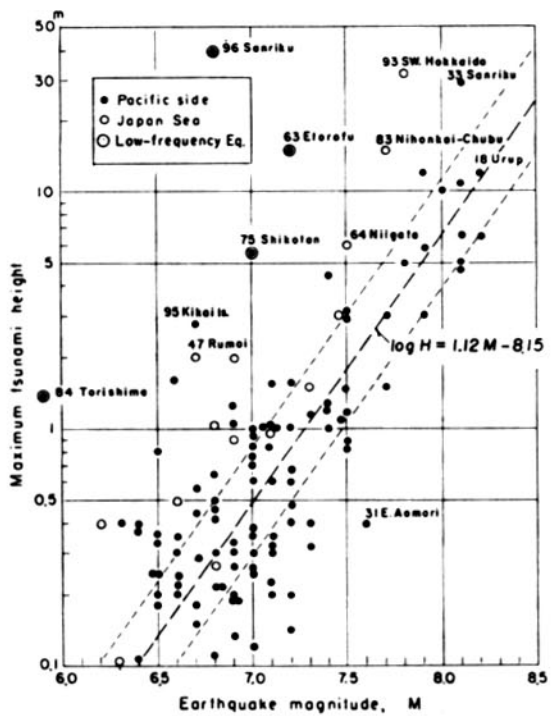
津波マグニチュードは、遠隔地の波高観測値を含めて判定されるが、波源域に近い沿岸で、局地的に波高がマグニチュードの平均値より突出することがある。とくに地震の発生時には、地震のマグニチュード  $M$  から最大波高を予測することは、防災上きわめて重要である。

表-1に示す観測データをもとに、津波マグニチュードと最大波高  $H$  との関係をみると図-3のようになる。ここで、波源域に面した沿岸での波高分布から得た、次の経験式（羽鳥、1986）を太い破線で示す。

$$\log H = 0.37M - 0.11$$

細い点線は、 $m \pm 0.5$  の範囲を示した。その結果、観測値はほぼ点線内にあり、太平洋と日本海側の津波とで差が出ていない。しかし、低周波性の津波地震による津波（二重丸）の波高が突出している。なお、八丈島東方沖・南千島津波の波高値が著しく小さいものは、波源付近の観測値が得られていないためである。以上の経験式は、中南米・アリューシャンなど環太平洋で発生した、津波のデータを加えて得た式（羽鳥、1995）とほとんど差がない。

一方、地震のマグニチュード  $M$  と最大波高  $H$  との関係（図-4）は、地震の深さや断層運動の条件で観測値が大幅にバラつく。 $m \sim$

図-3 津波マグニチュード  $m$  と最大波高の関係図-4 地震マグニチュード  $M$  と最大波高の関係

$M$ 式と $m \sim H$ 式から $m$ を消去すると、太い破線で示す次式を得る。

$$\log H = 1.12M - 8.15$$

細い点線は、 $M \pm 0.2$ の範囲を示した。日本海側の津波（白丸）は、上式より波高値が上回る傾向がみられる。とくに、 $M$ 7.0前後の低周波地震による津波では、波高値が平均より10倍を超えるものがある。

#### 4. $m$ と $M_t$ スケールの関係

津波マグニチュード $M_t$ と $M_t$ スケールは、波高的観測データをもとに、断層運動の大きさに関連づけて作られ、地震のモーメント・マグニチュード $M_t$ に対応する数値で示された。環太平洋の主な巨大地震（Abe, 1983）と、1894年以降日本周辺で発生した地震の規模が、 $M_t$ スケールで格付けられている（阿部, 1988）。

そこで今村・飯田スケールで表す津波マグニチュード $m$ と、 $M_t$ との関係をみると図-

5のようになる。なお、 $M_t$ スケール（渡辺, 1995）との比較は、 $M_t$ 値と近似しているので省略する。ここで太い破線は経験式（渡辺, 1984）を表し、細い点線で $m \pm 0.5$ の範囲を示した。大多数の津波マグニチュードは、点線内に入っている。外国の津波の多くは、 $M_t$ 値が大きく、津波地震による1946年アリューシャン津波の値が突出している。その他の津波地震の $M_t$ 値はほぼ平均的であるが、日本海側の津波では下限値になるものが多い。

#### 5. むすび

過去約100年間（1894–1995）に、日本近海で発生した133個の津波のマグニチュードと地震の規模との関係および地域性を検討した。 $M$ 8クラスの地震に伴う津波は、地震の規模に見合う標準的なマグニチュード（ $m$ 2.5～3）のものが多い。しかし南千島～三陸沖間で発生した56例の地震のうち、約24%の津波

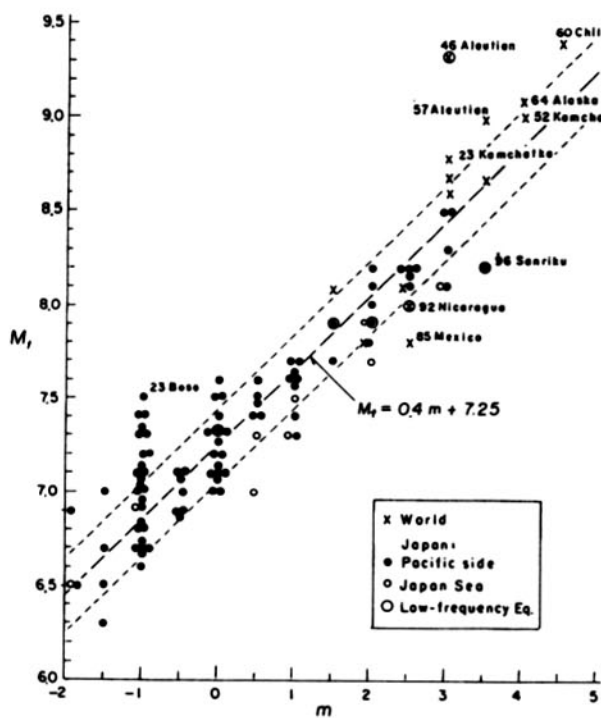


図-5 津波マグニチュード $m$ と $M_t$ スケールの関係

のマグニチュードが平均値を上回っている。日本海側の13例の地震では、津波マグニチュードの上回るもののが62%にのぼり、地震の規模と比べ波高が2倍程度高い。また $M_7$ 前後の低周波地震で、最大波高が平均値より10倍を超えるものがある。最近、P波から地震のマグニチュードを求める手法が試みられているが（例えば吉田・横田、1994）、津波地震の判別も重要な課題であり、併せて期待したい。

### 参考文献

- Abe, K., 1983 : A new scale of tsunami magnitude  $M_t$ . *Tsunamis-Their Science and Engineering*, Edited by K. Iida and T. Iwasaki, Proc. Inter. Tsunami Symp. of IUGG Tsunami Comm., TERRAPUB (Japan), pp.91-101.
- Abe, K., 1985 : Quantification of major earthquake tsunamis of the Japan Sea. *Phys. Earth Planet. Inter.* Vol.38, pp.214-223.
- 阿部勝征, 1988 : 津波マグニチュードによる日本付近の地震津波の定量化, 東大地震研究所彙報, Vol.63, pp.289-303.
- 羽鳥徳太郎, 1979 a : 北海道の歴史津波, 月刊海洋科学, Vol.11(1), pp.13-22.
- 羽鳥徳太郎, 1979 b : 津波の規模階級とエネルギーとの関係, 東大地震研究所彙報, Vol.54, pp.531-541.
- 羽鳥徳太郎, 1986 : 津波の規模階級の区分, 東大地震研究所彙報, Vol.61, pp.503-515.
- 羽鳥徳太郎, 1994 : 台湾・フィリピン・インドネシアにおける津波規模の特性, 地震2, Vol.47, pp.155-162.
- 羽鳥徳太郎, 1995 : 中米における津波規模の特性, 津波工学研究報告, 東北大学工学部, No12, pp.67-74.
- Iida, K., 1956 : Earthquakes accompanied by tsunamis occurring under the sea off the islands of Japan, *J. Earth Sci., Nagoya Univ.*, Vol. 4, pp. 1-43.
- 渡辺偉夫, 1984 : 改訂津波表から得られる日本および周辺における津波発生の特徴, 地震2, Vol.37, pp.607-619.
- Watanabe, H., 1993 : Amplitude coefficient of maximum tsunami by traveling distance and tsunami magnitude, Proc. of IUGG/IOC Inter. Tsunami Symp. Wakayama, pp.271-276.
- 渡辺偉夫, 1994 : 日本および世界で発生した津波地震の分布, 月刊地球, Vol.16(2), pp.91-96.
- 渡辺偉夫, 1995 : 日本近海で発生した津波のマグニチュード決定式の地域性, 地震2, Vol.48, pp.271-280.
- 吉田康宏・横田崇, 1994 : P波から決めたマグニチュード, 日本地震学会講演予稿集, No 2, p.11.